

# استفاده همزمان فرایندهای فنتون و الکتروشیمیایی برای کاهش بار آلی لجن

Archive of SID

## مازاد بیولوژیکی

<sup>۳</sup> گاگیک ندیلیانس، قلی کندی<sup>\*</sup>، حمیدرضا مسیحی<sup>۲</sup>، مریم میرابی<sup>۳</sup>

۱. دانشیار مهندسی محیط‌زیست، آب و فاضلاب، دانشگاه شهید بهشتی، پردیس فنی مهندسی شهید عباسپور

۲. کارشناس ارشد مهندسی عمران، آب و فاضلاب، دانشگاه شهید بهشتی، پردیس فنی مهندسی شهید عباسپور

masihi.hamidreza@gmail.com

۳. استادیار مهندسی محیط‌زیست، آب و فاضلاب، دانشگاه شهید بهشتی، پردیس فنی مهندسی شهید عباسپور

mirabi@pwut.ac.ir

تاریخ پذیرش مقاله: ۱۳۹۲/۸/۲۹

١٣٩٢/٧/٢٠ تاریخ وصول مقاله:

جگہ

با ارائه راهکارهای فراوان در راستای ارتقای سامانه‌های تثبیت لجن مازاد بیولوژیکی در چند دهه گذشته، این موضوع همچنان مورد توجه ویژه بسیاری از متخصصان مربوطه است. در این تحقیق، بر اساس نتایج بررسی‌های اولیه در خصوص قابلیت و مشکلات عملکردی روش‌های فتنون و الکتروشیمیابی در مقیاس آزمایشگاهی، به کارگیری سامانه ترکیبی (همزان) روش فتنون-الکتروشیمیابی و پارامترهای مؤثر در عملکرد سامانه آزمایشگاهی مزبور شامل نسبت آهن به پراکسیدهیدروژن، مقدار pH، مدت زمان ماند، غلظت پراکسیدهیدروژن، شدت جریان و غلظت آهن باقیمانده بررسی شد. همچنین، بررسی مقایسه‌ای عملکرد روش فتنون با روش ترکیبی فتنون-الکتروشیمیابی انجام گرفت. مطابق نتایج و بررسی‌های انجام شده بهترین نسبت غلظت آهن به پراکسیدهیدروژن برابر  $58\text{ mg/L}$ ، مقدار بهینه pH برابر  $3/1$ ، بیشترین مدت زمان ماند  $6$  ساعت با غلظت پراکسیدهیدروژن برابر  $156\text{ mA/L}$  و شدت جریان  $650\text{ mA}$  و شدت جریان  $750\text{ mA}$  برای حذف بهینه VSS حاصل شد. همچنین، با توجه به نتایج حاصل می‌توان گفت که افزایش کارامدی حذف VSS دارای همبستگی تصاعدی با میزان مصرف انرژی است. با توجه به اهمیت بسزای استفاده مجدد از لجن حاصل به ویژه کشاورزی، غلظت آهن باقیمانده نیز بررسی شد. در این خصوص با افزایش غلظت آهن ورودی به سامانه آزمایشی، افزایش غلظت آهن در لایه لجن قابل مشاهده است. بررسی مقایسه‌ای سرعت تجزیه مواد آلی در سامانه ترکیبی به مراتب (حدود  $3$  برابر) بیشتر است. بنابراین، می‌توان گفت گزینه فتنون-الکتروشیمیابی از بسیاری جوانب، راهکار مناسبی برای ارتقای عملکرد فرآیند حذف VSS و کاهش بار آلی لجن مازاد بیولوژیکی است.

گلیدواڑہ

تصفية فاضلاب شهري، روش فنتون و الكتروشيمياي، كاهاش بار آلى لجن، لجن مازاد بيلوزيكي.

۱. سو آغاز

(يدلانتي، قل كندي، ٢٠٠٦؛ Bureau, et al ١٣٨٨)

تثییت لجن با مشکلاتی در خصوص آبگیری، حذف بو، حذف پاتوژن‌ها، حذف ترکیبات آلی و سمی و فلزات (Bureau, et al., 2012). در برخی موارد نیز راهبری روش‌های متعارف (al., 2012)؛

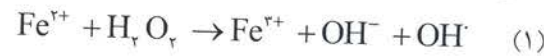
یکی از اهداف اصلی فرایندهای تصفیهٔ فاضلاب و لجن مازاد حاصل از آن‌ها، حذف مواد آلی است. هزینهٔ تثبیت لجن مازاد بیولوژیکی به کمک روش‌های متعارف، همچنین، آبگیری و دفع آن، بخش زیادی از هزینه‌های سایه‌گذاری و جاری را به خود اختصاص می‌دهد [www.SID.ir](http://www.SID.ir)

در این تحقیق برای تعیین دقیق نتیجه‌گیری اولیه بالا، به تأثیر عملکردی روش ترکیبی *فتوان و الکتروشیمیابی* برای *Archaea* و *SID* حذف بار آلی لجن مازاد بیولوژیکی از طریق بررسی میزان حذف VSS توجه شد. در این بررسی، تأثیر پارامترهای اصلی مؤثر در میزان کارامدی حذف VSS شامل نسبت آهن به پراکسیدهیدروژن، مقدار pH، مدت زمان ماند، غلظت پراکسیدهیدروژن و میزان جریان الکتریکی ارزیابی شدند. انتخاب پارامترهای مذکور با توجه به تأثیر آن‌ها در میزان مصرف مواد شیمیابی، مصرف انرژی و راهبری بهینه سامانه مورد نظر انجام گرفت. برای دستیابی به ارزیابی صحیح از تأثیرگذاری فرایند الکتروشیمیابی در کارامدی عملکردی سامانه، بررسی مقایسه‌ای عملکرد روش فتنون و ترکیبی فتنون و الکتروشیمیابی نیز انجام شد.

## ۲. مواد و روش بررسی

مطالعات و بررسی‌های پایلوتی در مقیاس آزمایشگاهی در زمستان ۱۳۹۱ و بهار ۱۳۹۲ انجام شد. نمونه‌های لجن مازاد مورد بررسی از محل لجن برگشتی در تصوفیه خانه شهید محلاتی (سامانه لجن فعال با هواهدهی گسترده) برداشت شد. مشخصات لجن مزبور در جدول ۱ ارائه شده است. راکتور آزمایشگاهی استوانه‌ای شکل از جنس پلکسی‌گلاس به حجم ۰/۹ لیتر حاوی ۴ الکترود آند و کاتد از جنس گرافیت است. الکترودهای گرافیتی به ابعاد (۱۴۰mm\*۶۰mm\*۱mm) به علت بی‌تأثیربودن و تجزیه آن‌ها استفاده شدند. عمق قرارگیری آن‌ها در لجن برابر ۱۰۰ میلی‌متر و سطح تماس هر الکترود با لجن ۱/۵ سانتی‌متر در نظر گرفته شد (Nidheesh, et al., 2012). اختلاط در راکتور با استفاده از موتور الکتریکی (DC, 366 rpm) همزن مغناطیسی در یون آهن و عملکرد کاتالیزوری آن در فرایند فتنون، از استفاده از آن صرف نظر شد. برای تنظیم آمپر از سامانه منبع تغذیه دیجیتال از (V) ۰-۳ (A) ۰-۳۰ (Mps, DC – 3003D) استفاده شد (شکل ۱ و ۲).

در روش‌های اکسیداسیون پیشرفت‌های از جمله فتنون، رادیکال هیدروکسیل به منزله عامل اصلی اکسیداسیون (عامل اصلی تخریب مواد شیمیابی آلی) تولید می‌شود. رادیکال هیدروکسیل سریع و غیرانتخابی واکنش نشان می‌دهد و از تمامی ترکیبات آلی، الکترون می‌گیرد. پراکسیدهیدروژن و آهن به منزله دو عامل اصلی فرایند فتنون شناخته شده‌اند (Nidheesh, et al., 2012). تأثیر پراکسیدهیدروژن به منزله ماده ضدغافونی کننده قوی مشهود است و افزایش قدرت اکسیداسیون آن با استفاده از کاتالیزور  $Fe^{2+}$  بر اساس واکنش ۱ مدت‌هاست که در مباحث شیمی آب به آن توجه شده است (بدلیانس قلی‌کندي، ۱۳۸۵).

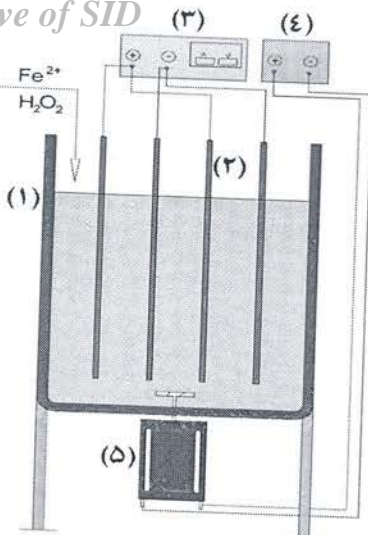


با توجه به سیتیک واکنش روش الکتروشیمیابی، سرعت تجزیه ترکیبات آلی مقاوم و مواد سمی به مراتب (حدوداً تا ۱۰۰ برابر) بیشتر از روش‌های بیولوژیکی است (Ugur, et al., 2007). بدین علت در سال‌های اخیر در خصوص تصفیه آب و فاضلاب به روش مذکور توجه روزافزون شده است (Pozzo, et al., 2005). عملکرد اصلی این روش در راکتور مورد مطالعه را می‌توان مطابق واکنش ۲ نمایش داد.



نتایج آزمایش‌های اولیه انجام شده از سوی گروه تحقیق نشان دادند که کارامدی فرایند فتنون در مدت زمان ماند کم بسیار محدود است و در عین حال به مصرف بیشتر مواد شیمیابی خصوصاً آهن نیاز دارد. لزوم کنترل دما هنگام راهبری فرایند از دیگر مشکلات شایان ذکر است. از سوی دیگر باید به قابلیت محدود روش الکتروشیمیابی در خصوص حذف مواد از طریق فرایند انقادسازی (کوآگولاسیون) اشاره کرد. در مقابل به کارگیری ترکیبی *WWW.SID.ir* این دو روش امکان افزایش کارامدی فرایند همراه کاهش هم‌زمان مدت زمان ماند را فراهم می‌کند.

## Archive of SID



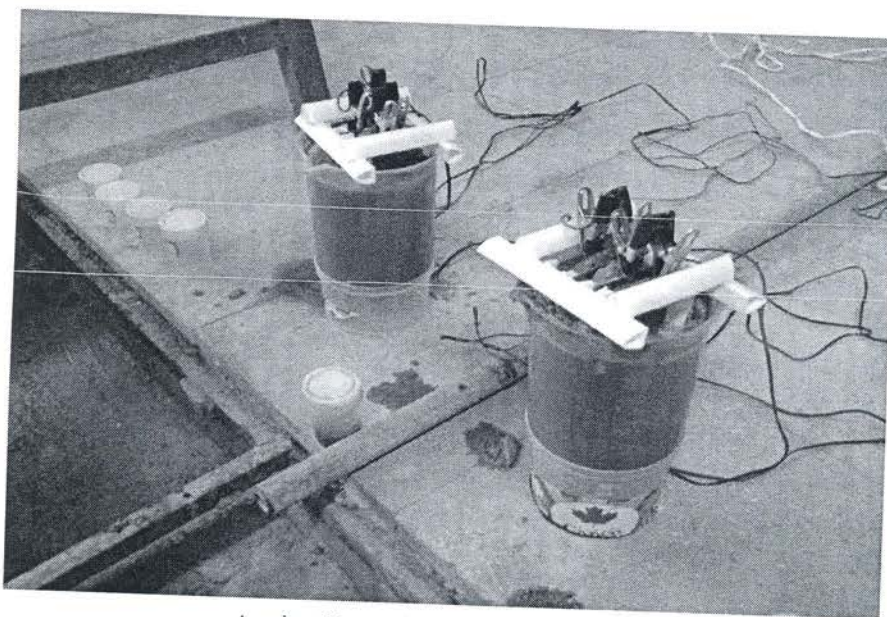
شکل ۱. طرح واره راکتور آزمایشگاهی فنتون - الکتروشیمیایی

۱. راکتور فنتون و الکترو شیمیایی، ۲. الکترود (آند و کاتد)،
۳. منبع تغذیه متغیر، ۴. منبع تغذیه با خروجی ثابت، ۵. همزن - موتور الکتریکی)

جدول ۱. مشخصات کیفی لجن مازاد بیولوژیکی تحت بررسی در تصفیه خانه شهید محلاتی

پارامتر (واحد)	مقدار
pH	۷/۳۳ - ۷/۵۳
Temperature (°C)	۱۵/۶ - ۱۳/۸
COD <sup>۱</sup> (mg/lit)	۱۱۱۶۴ - ۶۰۵۱
VSS <sup>۷</sup> (mg/lit)	۷۷۸۲ - ۳۵۳۶
VS <sup>۷</sup> (mg/lit)	۸۳۸۲ - ۴۰۸۶
TSS <sup>۴</sup> (mg/lit)	۸۴۳۲ - ۴۰۸۸
VSS/TSS	۰/۹۲ - ۰/۸۶

همچنین، مواد مصرفی شامل سولفات آهن، پراکسیدهیدروژن و اسید سولفوریک غلیظ (برای تنظیم pH) شرکت Merck و کاغذ صافی واتمن (شماره ۴۲) استفاده شد.

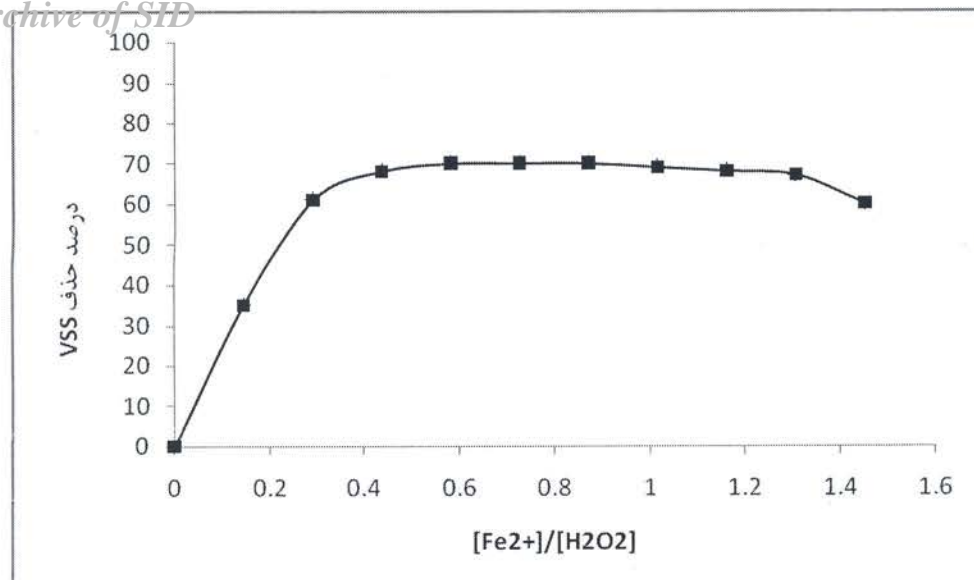


شکل ۲. راکتور آزمایشگاهی فنتون - الکتروشیمیایی

نمونه‌گیری ساعتی از عمق ۱۰۰ میلی‌متری راکتور آزمایشگاهی دو عامل VSS، pH و آمپر اندازه‌گیری می‌شدند. کلیه آزمایش‌ها مطابق روش استاندارد متد (APHA, 1999) صورت گرفته و هر مجموعه‌ای از آزمایش برای کنترل خطاهای آن ۳ بار تکرار شد.

### ۳. نمونه‌گیری و انجام آزمایش‌ها

ابتدا pH لجن با استفاده از اسید سولفوریک و سود تنظیم، سپس به لفات آهن و پراکسیدهیدروژن به سامانه تزریق می‌شد. الکترودها پس از اتصال به منبع تغذیه درون راکتور قرار می‌گرفتند. سپس، آمپر و ولتاژ تنظیم می‌شدند. پس از



شکل ۳. منحنی نتایج آزمایش رابطه میزان حذف VSS و نسبت  $[Fe^{2+}]/[H_2O_2]$  (مدت زمان ماند ۴ ساعت، غلظت پراکسیدهیدروژن ۱۲۵۵mg/L، جریان A = ۳۶۰۰mA)

را حفظ می‌کند، به گونه‌ای که در نسبت ۱/۴۵ عملکرد سامانه کاهش می‌یابد و به ۶۰ درصد می‌رسد.



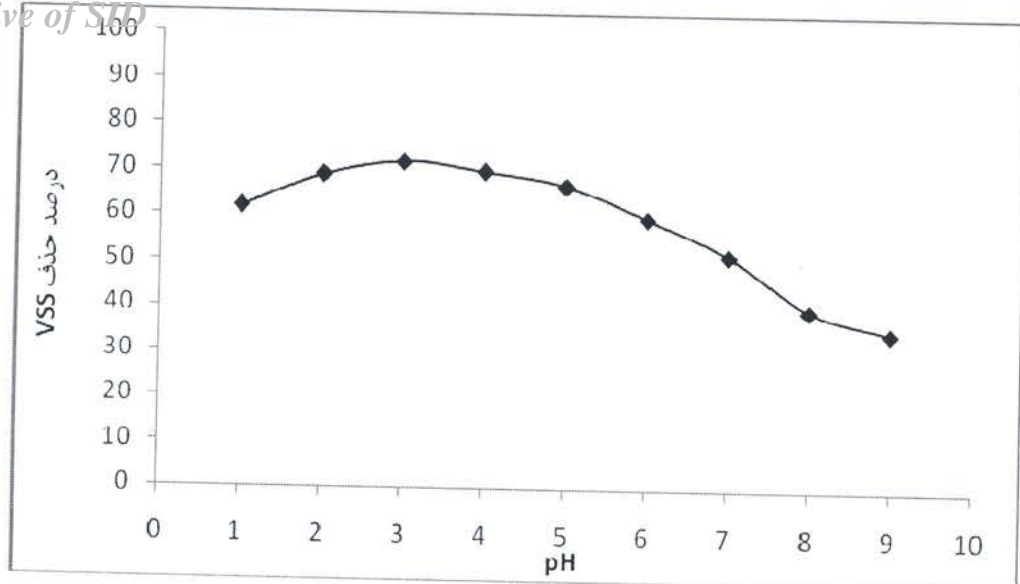
#### ۴.۲. تأثیر pH در بازده سیستم

بر اساس نتایج مطالعات انجام شده پیشین، مقدار بهینه pH برای فرایند فتوتون در محدوده ۳ مشخص شده است (Ghoneim, et al., 2011; Zhou, et al., 2007; Wang et al., 2008; Ai, et al., 2007) در فرایند فتوتون به شمار می‌رود. نتایج بررسی‌های راکتور آزمایشگاهی نیز (شکل ۴) نشان‌دهنده حداکثر کارامدی حذف VSS در محدوده pH=۳ است. حداکثر میزان حذف VSS برابر ۷۲ درصد در مقدار pH برابر ۳/۱ اندازه‌گیری شد. همچنین، مشخص شد که کارامدی سامانه در صورت کاهش pH به کمتر از ۳ به گونه‌ای کاهش می‌یابد، که در آهن با  $H_2O_2$  کمپلکس پایدار تشکیل می‌دهند و در نتیجه ختنی‌سازی کاتالیزور آهن به وقوع می‌پیوندد و بازدهی اکسیداسیون به طور چشمگیری کاهش می‌یابد (Wang, et al., 2010).

#### ۴. نتایج

##### ۴.۱. تأثیر نسبت $[Fe^{2+}]/[H_2O_2]$

همان‌گونه که در شکل ۳ مشاهده می‌شود در صورت نبود یون  $Fe^{2+}$  در محیط، کارامدی سامانه برابر صفر است. کارامدی سامانه مورد بررسی به علت افزودن یون  $Fe^{2+}$  مطابق واکنش ۱ به علت تولید رادیکال هیدروکسیل افزایش می‌یابد و سبب اکسیداسیون مواد آلی می‌شود. با افزایش نسبت  $[Fe^{2+}]/[H_2O_2]$  از صفر به ۰/۱۴۵، کارامدی حذف VSS به ۳۵ درصد فزوئی می‌یابد و در نهایت حداکثر کارامدی سامانه برابر ۷۰ درصد در نسبت  $[Fe^{2+}]/[H_2O_2]=0/58$  حاصل می‌شود. شایان یادآوری است که کارامدی سامانه در صورت افزایش این نسبت تا ۰/۸۷ تغییر محسوسی نشان نمی‌دهد (کارامدی تقریباً ثابت). افزایش بیش از حد غلظت  $Fe^{2+}$  بر اساس واکنش ۳ سبب مصرف رادیکال هیدروکسیل می‌شود که کاهش کارامدی سامانه را به دنبال خواهد داشت (Sankara Narayanan, et al., 2003) با افزایش نسبت  $[Fe^{2+}]/[H_2O_2]$  به ۱/۱۵ کارامدی سامانه ۱ درصد کاهش می‌یابد و به ۶۹ درصد می‌رسد. این روند سیر نزولی خود



شکل ۴. منحنی نتایج آزمایش رابطه میزان حذف VSS بهمنزلة تابعی از pH

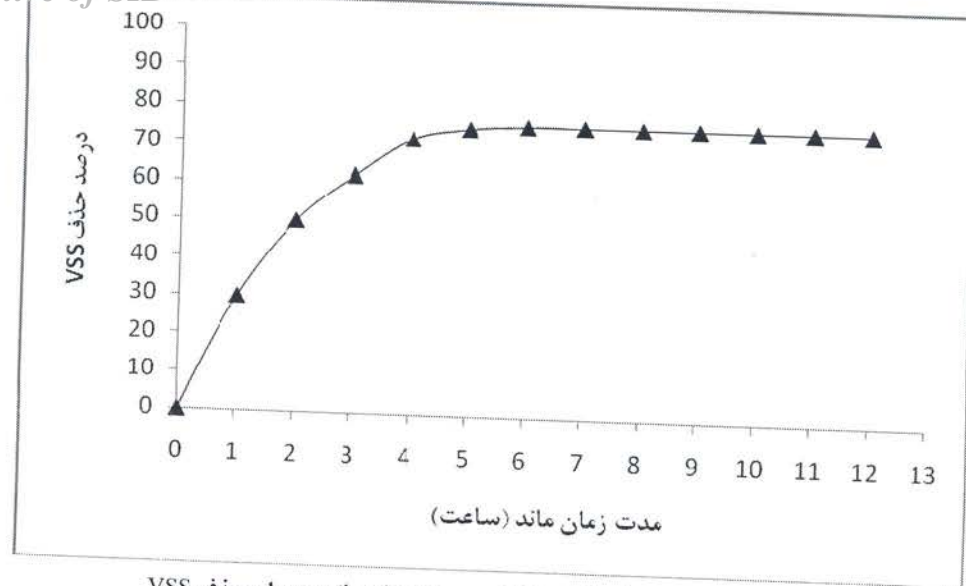
(مدت زمان ماند ۴ ساعت،  $\text{Fe}^{2+}/[\text{H}_2\text{O}_2] = 0.58 \text{ mg/L}$ ، جریان ۷۰۰ mA)

نتیجه لزومی به استفاده از مقدار زیادی اسید برای کاهش pH نیست و با توجه به گستره معمول pH هنگام بهره‌برداری، به ختی سازی نیز نیازی نیست.

#### ۴.۳. مدت زمان ماند

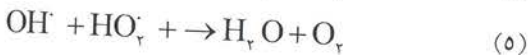
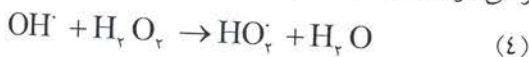
به مدت زمان ماند بهمنزلة یکی از پارامترهای مهم بهره‌برداری توجه می‌شود، اما در سامانه‌های ترکیبی فتوتون و الکتروشیمیایی این مدت زمان در حد زیادی کاهش می‌یابد. مدت زمان ماند کم سامانه از سویی سبب تسهیل بهره‌برداری و از سویی دیگر کاهش قابل توجه حجم راکتور می‌شود. همان‌گونه که در شکل ۵ مشاهده می‌شود، در ۲ ساعت اولیه آزمایش، بیشترین کارامدی حذف حاصل می‌شود که حدود ۵۰ درصد است. علت آن نیز غلظت زیاد مواد آلی تجزیه‌پذیر در سامانه آزمایشی است. کارامدی سامانه آزمایشی در ۲ ساعت پس از آن به ۷۰ درصد رسید و بعد از ۶ ساعت به ۷۶ افزایش یافت. باید توجه داشت که مدت زمان ماند از دیدگاه انرژی نیز حائز اهمیت است.

علت دیگر ثابت‌ماندن پراکسیدهیدروژن به صورت  $\text{H}_3\text{O}_2^+$  است (Zhou, et al., 2007) که سبب مشارکت‌نکردن  $\text{H}_2\text{O}_2$  در واکنش ۱ و کاهش تولید رادیکال هیدروکسیل و در نتیجه کاهش کارامدی حذف VSS می‌شود. با افزایش مقدار pH از ۳ به ۵، کارامدی سامانه آزمایشگاهی مورد بررسی با روند ملایمی کاهش می‌یابد و در  $\text{pH}=5$  میزان ۷۶ درصد حاصل می‌شود. اما در pH بیش از ۵ به علت ناپایداری‌ودن پراکسیدهیدروژن در محلول‌های پایه‌های تبدیل آن به آب و اکسیژن کارامدی سامانه مذکور با سرعت بیشتری کاهش یافته. کاهش چشمگیر کارامدی حذف VSS در مقادیر pH بیش از ۷ مشاهده شد که ناشی از افزایش سرعت ناپایدارشدن  $\text{H}_2\text{O}_2$  است (Shemer, et al., 2006; Wang, et al., 2006). طبق استاندارد U.S.EPA (U.S.EPA, 2001) حداکثر بازده حذف VSS در روش‌های متعارف ثبت لجن ۵۰ درصد است (U.S.EPA, 1995). ترتیب حاصل از بررسی راکتور آزمایشگاهی (شکل ۴) نشان‌دهنده کارامدی حذف VSS بیش از ۵۰ درصد در مقادیر pH برابر ۵ - ۷ است. در



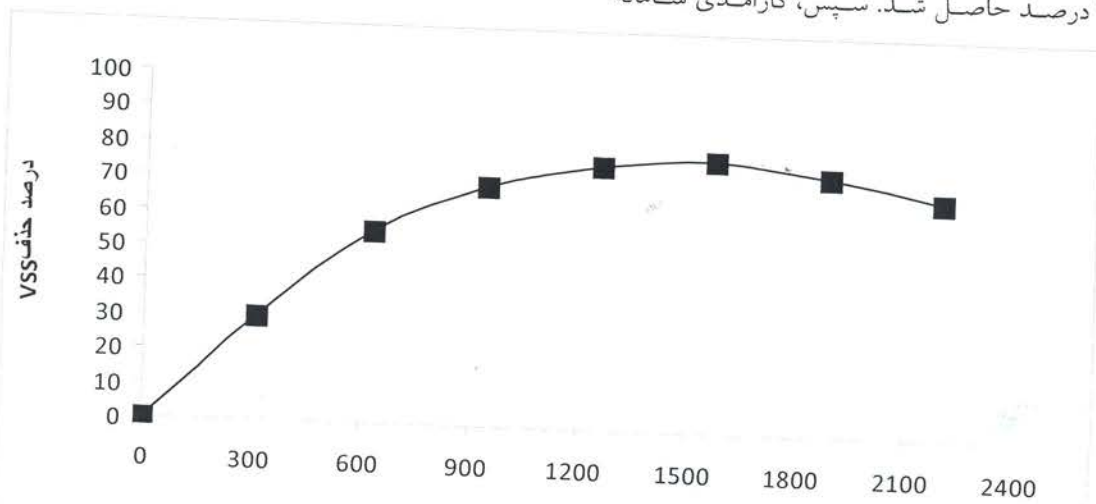
شکل ۵. منحنی نتایج آزمایش رابطه بین مدت زمان ماند و میزان حذف VSS  
( $\text{pH}=3/1$ ,  $[\text{Fe}^{2+}]/[\text{H}_2\text{O}_2]=0/58$ ,  $600 \text{ mA}$ ,  $1255 \text{ mg/L}$ ) (غلهٔ پراکسیدهیدروژن)

آزمایشی با افزایش بیشتر غلهٔ پراکسیدهیدروژن کاهش یافت. این امر به علت مصرف رادیکال هیدروکسیل در واکنش‌های زیر (۴ و ۵) است که به کاهش کارامدی حذف منجر می‌شود (Muruganandham, et al., 2004).



#### ۴. ۴. غلهٔ پراکسیدهیدروژن

شکل ۶ نشان‌دهندهٔ ناکارامدی سامانهٔ آزمایشی در حذف VSS (کارامدی برابر صفر) تحت شرایطی است که غلهٔ پراکسیدهیدروژن برابر صفر است. با افزایش غلهٔ پراکسیدهیدروژن مطابق واکنش ۱ رادیکال هیدروکسیل تولید می‌شود و کاهش VSS نیز به وقوع می‌پیوندد. این روند تا غلهٔ  $1568 \text{ mg/L}$  ادامه داشت و کارامدی حذف برابر ۷۸ درصد حاصل شد. سپس، کارامدی سامانهٔ



شکل ۶. منحنی نتایج آزمایش رابطه بین غلهٔ پراکسیدهیدروژن و میزان حذف VSS  
(میلی گرم در لیتر،  $\text{pH}=3/1$ ,  $600 \text{ mA}$ ,  $1255 \text{ mg/L}$ ) (مدت زمان ماند ۶ ساعت)

از سوی دیگر، با افزایش شدت جریان میزان حذف VSS افزونی می‌باید (Wang, et al., 2010). نظر به اینکه شدت جریان و ولتاژ در راکتورهای الکتروشیمیایی به منزله پارامترهای هزینه‌ای هنگام بهره‌برداری حائز اهمیت‌اند، به ترتیب زیر (رابطه ۶) تعیین می‌شوند و به آن‌ها توجه می‌شود (Ghosh, et al., 2011).

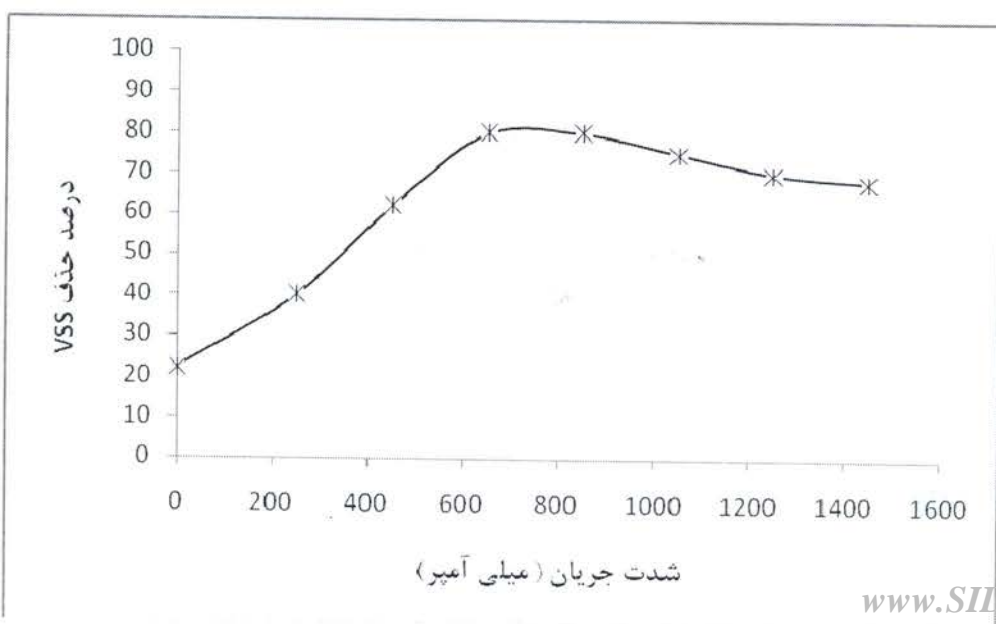
(۶)

$$UDE^{\circ} \left( \frac{kwh}{kgVSS(\text{removal})} \right) = \frac{\frac{V * I * t}{v}}{\left( \frac{VSS}{1000} \right) in * \frac{\eta}{100}}$$

که در آن:  $UDE^{\circ}$ = انرژی مورد نیاز بر حسب کیلووات ساعت به ازای حذف ۱ کیلوگرم،  $V$ = ولتاژ بر حسب ولت،  $I$ = جریان بر حسب آمپر،  $t$ = زمان بر حسب ساعت،  $v$ = حجم راکتور بر حسب لیتر،  $VSS$ = مواد جامد معلق بر حسب میلی‌گرم بر لیتر،  $\eta$ = بازده حذف بر حسب درصد.

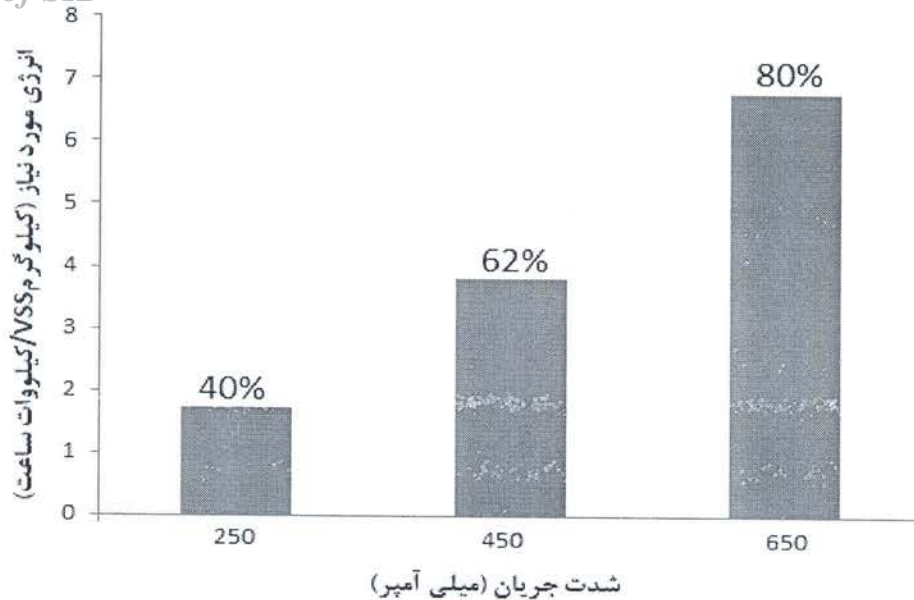
#### ۴.۵. شدت جریان

افزایش شدت جریان سبب افزایش تبدیل آهن  $Fe^{2+}$  به آهن  $Fe^{3+}$  می‌شود که در نتیجه، تأثیرگذاری فرایند فنتون افزایش می‌باید و واکنش ۲ به وقوع می‌پیوندد (Zhang, et al., 2007). همان‌گونه که در شکل ۷ مشهود است، هنگامی که جریانی در سامانه آزمایشی برقرار نیست، عملاً فقط فنتون موجود و کارامدی سامانه ۲۲ درصد است. پس از برقراری جریان برق در سامانه، کارامدی آن افزایش یافت که علت آن احیای آهن سه‌ظرفیتی به دو ظرفیتی است. تحت چنین شرایطی ( $650 - 750$  mA)، در نتیجه افزایش تولید رادیکال هیدروکسیل و افزایش جریان، کارامدی حذف VSS سامانه آزمایشی تا ۸۱ درصد افزونی یافت. پس از آن با افزایش جریان کارامدی سامانه ثابت می‌ماند که در نتیجه محدوده بین  $750 - 650$  mA به منزله بهترین جریان انتخاب شد. شدت جریان بیشتر دارای تأثیر بازدارندگی در واکنش ۲ است و در مجموع بازده فرایند را کاهش می‌دهد (Zhang, et al., 2007). تحت شرایط شدت جریان بیش از  $850$  mA کارامدی سامانه کاهش می‌باید که علت آن جلوگیری از انجام واکنش ۲ است.



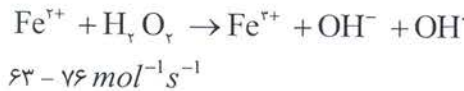
شکل ۷. منحنی نتایج آزمایش رابطه بین شدت جریان و میزان حذف VSS

( $pH=3/1$ ,  $[Fe^{2+}]/[H_2O_2]=0.58$ , غلظت پراکسیدهیدروژن  $1568\text{ mg/L}$ , مدت زمان ماند ۶ ساعت).

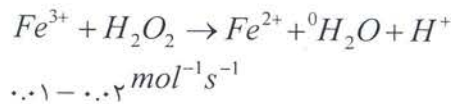


شکل ۸. میزان انرژی مورد نیاز بر حسب کیلووات ساعت برای حذف هر کیلوگرم VSS

(V)



(A)



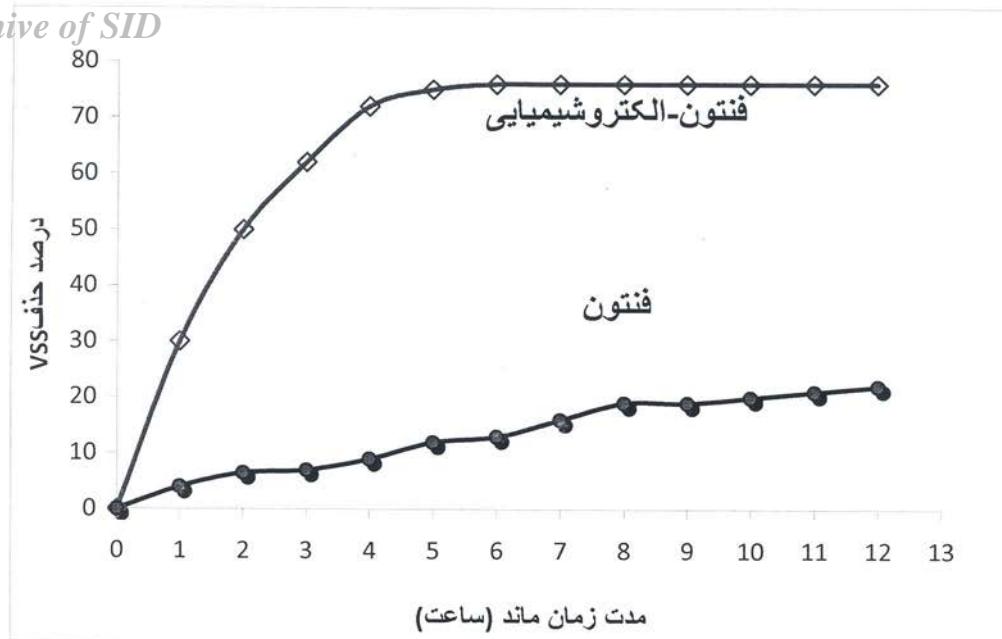
واکنش‌های ۷ و ۸ (Babuponnusami, et al., 2012; Su, et al., 2012) نشان می‌دهند که سرعت تشکیل یون  $\text{Fe}^{2+}$  به مراتب کمتر از مصرف آن است و همین امر سبب می‌شود که غلظت یون آهن بهمنزله کاتالیزور تولید رادیکال هیدروکسیل در سامانه کاهش یابد. در سامانه ترکیبی مورد بررسی با احیای مجدد آهن با استفاده از واکنش الکتروشیمیایی (۲) این پدیده بروز نکرد و در نتیجه سرعت واکنش افزایش یافت. همچنین، به علت اینکه در فرایند فتنون از پراکسیدهیدروژن برای احیای آهن استفاده می‌شود (واکنش ۸)، کارامدی فتنون در غلظت مساوی پراکسید هیدروژن کمتر از روش ترکیبی است (شکل ۹).

شکل ۸ نشان‌دهنده میزان انرژی مورد نیاز به ازای هر کیلوگرم حذف VSS است. با توجه به نتایج حاصل می‌توان گفت که با افزایش کارامدی حذف VSS، مصرف انرژی به طور تصاعدی افزایش می‌یابد. با افزایش جریان از ۲۵۰mA به ۶۵۰mA، میزان انرژی مصرفی به ازای هر کیلوگرم VSS از ۱/۷۳ کیلووات ساعت به ۶/۷۷ کیلووات ساعت فزونی می‌یابد.

#### ۴. مقایسه فتنون با راهکار ترکیبی فتنون-

##### الکتروشیمیایی

سرعت تجزیه مواد آلی در سامانه آزمایشی فتنون-الکتروشیمیایی به مراتب بیشتر از روش فتنون به تنها ی بود. مطابق نتایج حاصل می‌توان در مقایسه گفت که حداکثر کارامدی حذف VSS در روش ترکیبی در مدت زمان ماند ۶ ساعت ۷۶ درصد است، در حالی که این مقدار در روش فتنون برابر ۲۲ درصد است. علت تفاوت عملکردی فتنون-الکتروشیمیایی است که در فرایند فتنون مصرف یون  $\text{Fe}^{2+}$  برای تولید رادیکال هیدروکسیل به مراتب سریع‌تر از احیای آن است.

*Archive of SID*

شکل ۹. منحنی عملکردی حذف VSS دو روش بهمنزله تابعی از مدت زمان ماند

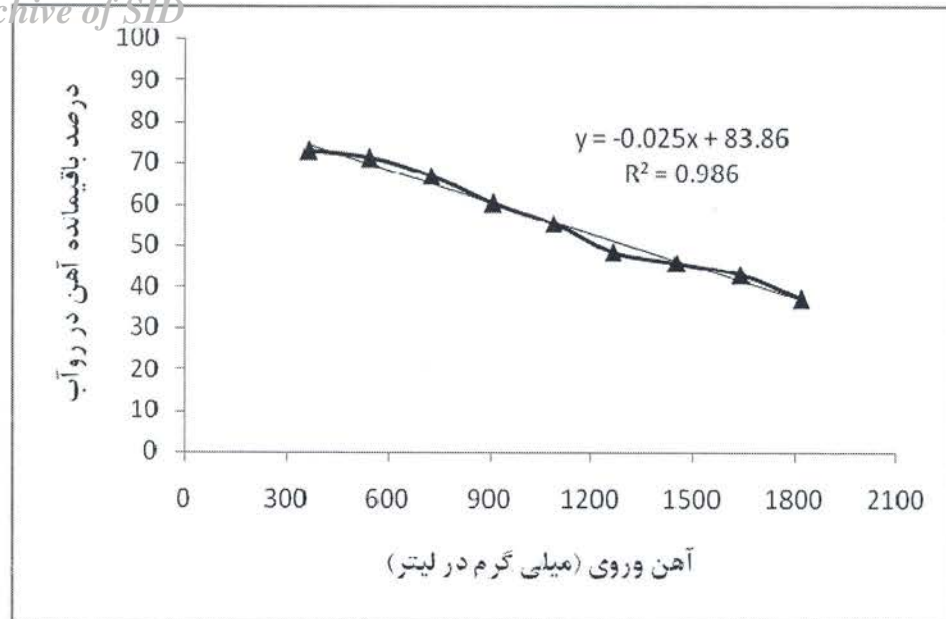
(جريان ۶۰۰mA، pH=۳/۱، [Fe<sup>2+</sup>]/[H<sub>2</sub>O<sub>2</sub>]=۰/۵۸، مدت زمان ماند ۶ ساعت، غلظت پراکسیدهیدروژن ۱۲۵۵mg/L)

توجه به غلظت ورودی آهن دارای سیری منطقی است و از یک تابع خطی تعیت می‌کند. این دو بحث از دو منظر حائز اهمیت است: یکی اینکه آیا استفاده مجدد از آهن در روآب سامانه ترکیبی ممکن است، تا میزان مصرف آهن تزریقی به سامانه کاهش یابد؛ دوم اینکه میزان آهن باقیمانده در لایه لجن برای استفاده در کشاورزی حائز اهمیت است (آهن بهمنزله ماده ریزمعنی در لجن از نظر قابلیت به کارگیری آن در کشاورزی حائز اهمیت است).

باید توجه داشت که نتایج بالا در pH=۳ حاصل شده است و در صورت تغییر مقدار pH، مقادیر آهن باقیمانده متفاوت خواهد بود، زیرا در مقادیر pH بیشتر احتمال رسوب آهن در لایه لجن بیشتر است. تحت شرایط pH=۳ میزان آهن در روآب بین ۴۰-۷۰ درصد، در سطح الکتروود

## ۴. غلظت آهن باقیمانده

با توجه به نتایج بررسی‌های انجام شده در خصوص غلظت آهن در بخش‌های مختلف سامانه آزمایشگاهی (روآب لجن، لجن و رسوب در سطح الکتروود) بهمنزله تابعی از غلظت آهن ورودی به سامانه می‌توان گفت که با افزایش غلظت آهن ورودی، میزان غلظت آهن در روآب لجن کاهش و میزان رسوب آن در لجن و سطح الکتروود افزایش می‌یابد. نتایج مقایسه‌ای غلظت‌های ورودی آهن برابر ۳۶۴mg/l و ۱۸۲۰mg/l گواهی بر این امر است. در صورتی که آهن ورودی به سامانه ۳۶۴mg/l بر لیتر باشد ۷۰ درصد آن یعنی ۲۵۵mg/l آن در روآب و مابقی در لایه لجن و سطح الکتروود رسوب می‌کند. اما هنگامی که غلظت آهن ورودی به سامانه برابر ۱۸۲۰mg/l بود، ۴۰ درصد آهن ورودی به سامانه برابر ۷۲۸mg/l آن در روآب و ۶۰ درصد باقیمانده در یعنی www.SID.ir



شکل ۱۰. منحنی همپستگی غلظت آهن و روی و غلظت آهن باقیمانده در رواب سامانه آزمایشگاهی  
(جريان ۶۰۰ mA، مدت زمان ماند ۴ ساعت، غلظت پراکسیدهیدروژن ۱۲۵۵ mg/L، pH=۳)

۷-۳) در مدت زمان کوتاهی عملکرد مناسبی دارد. در

عین حال نیز بار آلی لجن (VSS) به میزان زیادی کاهش یافت (حداکثر کارامدی حذف VSS برابر ۸۱ درصد). بررسی‌های مقایسه‌ای نتایج حاصل با نتایج در خصوص سامانه‌های فتون و متعارف دیگر مشخص می‌کند که فرایند همزمان فتون-الکتروشیمیابی گزینه‌ای ممکن و کارامد است و به کارگیری آن سبب بهبود کیفیت لجن تثبیت و شرایط بهره‌برداری می‌شود.

#### یادداشت‌ها

1. Chemical Oxygen Demand (COD)
2. Volatile Suspended Solid (VSS)
3. Total Suspended Solid (TSS)
4. Volatile Solid (VS)
5. Unit Energy Demand (UED)

#### ۵. بحث و نتیجه‌گیری

در چند دهه گذشته تلاش‌های گسترده‌ای در خصوص ارتقای عملکردی روش‌های متعارف تثبیت لجن و ارائه روش‌های نوین کارامد به عمل آمده است، اما محققان بسیاری همچنان به علت اهمیت ویژه فنی-اقتصادی این موضوع به آن توجه دارند. هدف اصلی راهکارهای ارائه شده حذف آلاینده‌های آلی و ارتقای کیفیت لجن برای مصارف مختلف از جمله کشاورزی است. در این تحقیق کارامدی عملکردی سامانه ترکیبی فتون و الکتروشیمیابی برای تثبیت لجن مازاد بیولوژیکی تصفیه‌خانه فاضلاب شهری ارزیابی شد. برای این منظور، بررسی مشخصه‌های مؤثر با استفاده از نمونه‌های لجن در راکتور (پایلوت) ترکیبی در مقیاس آزمایشگاهی انجام شد. مطابق نتایج حاصل مشاهده شد که سامانه در گستره وسیعی از pH

*Archive of SID*

بدیانس قلی کندی، گ. ۱۳۸۵. شیمی آب، چاپ دوم، نشر نوپردازان، تهران.

مسیحی، ح.ر، بدیانس قلی کندی، گ. ۱۳۹۲. به کارگیری روش الکتروشیمیایی در فرایند ثبت لجن در مقایسه با بیان آزمایشگاهی، پایان نامه کارشناسی ارشد مهندسی عمران - آب و فاضلاب دانشگاه شهید بهشتی پردیس فنی شهید عباسپور، تهران.

Ai, Z., Mei, T., Liu, J., Li, J., Jia, F., Zhang, L. and Qi u, J. 2007. Fe@Fe<sub>2</sub>O<sub>3</sub> core-shell nanowires as an iron reagent. 3. Their combination with CNTs as an effective oxygen-fed gas diffusion electrode in a neutral electro-Fenton system, *J. Phys. Chem. C* 111, 14799–14803.

APHA. 1999. Standard Methods for the Examination of Water and Wastewater, 20th edition. American Public Health Association /Water Environment Federation, Washington, DC, USA.

Babuponnusami, A., and Muthukumar, K. 2012. Advanced oxidation of phenol: A comparison between Fenton, electro-Fenton, sono-electro-Fenton and photo-electro-Fenton processes, *Chemical Engineering Journal* 183, 1–9.

Bureau, M., Drogui, P., Sel Iamuthu, B., Blais, J. and Mercier, G. 2012. Municipal Wastewater Sludge Stabilization and Treatment Using Electrochemical Oxidation Technique, *J. Environ. Eng.* 138(7), 743–751.

Ghoneim, M.M., El-Desoky, H.S., and Zidan. N.M. 2011. Electro-Fenton oxidation of Sunset Yellow FCF azo-dye in aqueous solutions, *Desalination* 274, 22–30.

Ghosh, P., Samanta, M.N. and Ray. S. 2011. Reduction of COD and removal of Zn<sup>2+</sup> from rayon industry wastewater by combined electro-Fenton treatment and chemical precipitation, *J. Desalination* 266, 213–217.

Muruganandham, M., and Swaminathan, M. 2004. Decolorisation of reactive orange 4 by Fenton and photo-Fenton oxidation technology, *J. Dyes Pigm* 63, 315–321.

Nidheesh, P.V., and Gandhi mathi, R. 2012. Trends in electro-Fenton process for water and wastewater treatment: An overview, *J. Desalination* 299, 1–15.

Pozzo, A.D., Ferrantelli, P., Merli, C. and Peerucci, E. 2005. Oxidation efficiency in the electro-Fenton process, *J. of Applied Electrochemistry* 35, 391-398.

Sankara Narayanan, T.S.N., Magesh, G. and Rajendran, N. 2003. Degradation of Ochlorophenol from aqueous solution by electro-Fenton process, *Fresenius Environ. Bull.* 12 (7), 776–780.

Shemer, H., and Linden, K.G. 2006. Degradation and by-product formation of diazinon in water during UV and UV/H<sub>2</sub>O<sub>2</sub> treatment, *J. Hazardous Material* 136, 553–559.

Su, C.C., Chang, A. T., Bellotindos, L.M. and Lu, M. C. 2012. Degradation of acetaminophen by Fenton and electro-Fenton processes in aerator reactor, *Separation and Purification Technology* 99, 8–13.

Turovskiy, J.S., and Mathai, P.K. 2006. *Wastewater Sludge Processing*, Wiley, 978-0-471-70054-8.

U.S. EPA. 1995. *Process Design Manual for Sludge Treatment and Disposal*, EPA 625/1-75/003a.

Ugur, k., Apaydin, O. and Talha Gonullu, M. 2007. Reduction on COD wastewater from an organized tannery industrial region by Electro-Fenton process”, *Journal of Hazardous Materials* 143, 33-40.

Wang, C.T., Hu, J.L., Chou, W.L. and Kuo, Y.M . 2008. Removal of color from real dyeing wastewater by electro-Fenton technology using a three-dimensional graphite cathode, *J. Hazard. Mater.* 152 - 601–606.

Wang, C.T., Chou, W.L., Chung, M.H. and Kuo, Y.M. 2010. COD removal from real dyeing wastewater by electro-Fenton technology using an activated carbon fiber cathode, *Desalination* 253 -129–134.

Wang, Q. and Lemley A.T. 2001. Kinetic model and optimization of 2,4-D degradation by anodic Fenton treatment, Environ. Sci. Technol. 35:4509–4514.

Zhang, H., Fei, C., Zhang, D. and Tang, F. 2007. Degradation of 4-nitrophenol in aqueous medium by electro-Fenton method, J. Hazard. Mater. 145 - 227–232.

*www.SID.ir*

Zhou, M., Yu, Q., Lei , L. and Bartron, G. 2007. Electro-Fenton method for the removal of methyl red in an efficient electrochemical system, Sep. Purif. Technol. 573 - 380–387.